

## การออกแบบและพัฒนาโครงคัสชีรถโดยสาร 2 ชั้น (มาตรฐาน 4)

### Design and Development of Chassis Frame for Double Deck Bus (Standard No. 4)

อิสรา โรจนะ<sup>1\*</sup> สายประสิทธิ์ เกิดนิยม<sup>2</sup>

<sup>1,2</sup> ภาควิชาวิศวกรรมเครื่องกลและการบิน-อวกาศ คณะวิศวกรรมศาสตร์ มหาวิทยาลัยเทคโนโลยีพระจอมเกล้าพระนครเหนือ  
1518 ถ.พิบูลสงคราม แขวงบางซื่อ เขตบางซื่อ จ.กรุงเทพมหานคร 10800

\*อีเมล์ itsa\_ra@hotmail.com, อีเมล์ saps@kmutnb.ac.th

#### บทคัดย่อ

การประกอบและผลิตโครงคัสชีรถโดยสารภายในประเทศอาศัยความรู้และความชำนาญของช่างซึ่งขาดการออกแบบตามหลักวิศวกรรม ดังนั้นงานวิจัยฉบับนี้ได้ศึกษา ออกแบบและพัฒนาโครงคัสชีรถโดยสาร 2 ชั้น (มาตรฐาน 4) ตามหลักการออกแบบทางวิศวกรรม ช่วงหลายปีที่ผ่านมาคอมพิวเตอร์มีส่วนสำคัญสำหรับการออกแบบและการคำนวณความแข็งแรง ดังนั้นการออกแบบโครงคัสชีจึงใช้วิธีการคำนวณความแข็งแรงด้วยวิธีไฟไนต์เอลิเมนต์ เริ่มจากการสร้างแบบจำลองไฟไนต์เอลิเมนต์แบบคาน (Beam Element) เพื่อคำนวณสนามโมเมนต์ดัดที่เกิดขึ้นกับโครงสร้าง จากนั้นนำผลการคำนวณดังกล่าวเลือกขนาดหน้าตัดของโครงสร้างเพื่อสร้างแบบจำลองสามมิติ และคำนวณความแข็งแรงด้วยวิธีไฟไนต์เอลิเมนต์แบบของแข็ง (Solid Element) การคำนวณทั้งหมดได้จำลองภาวะซึ่งเกิดจากการขับขี่ยานพาหนะคือ ภาวะโมเมนต์ดัด, ภาวะแรงบิด, ภาวะแรงกระทำจากด้านข้าง และแรงกระทำตามแนวยาวรถ ซึ่งผลการคำนวณความเค้นที่เกิดขึ้นกับโครงสร้างมีค่าอยู่ในช่วงสภาวะยืดหยุ่น

#### Abstract

Locally assembly and manufacturing frame chassis of double deck bus (standard no. 4) neglected the principle of engineering design. This paper describes method of engineering design for adequate strength. Recently in the past years, finite element method was applied to design and analyze the structural members. To begin with constructing finite model (beam element) for calculating the bending moment contour. From calculation selected section modulus for created 3D chassis frame by CAE (computer aided engineering). Use finite element method to simulated stress contour occurred in structural members. All simulating condition included bending, torsion, combined, lateral load and longitudinal load. Summarized the stress occurred in chassis is less than yield point.

#### 1. ความเป็นมา

การขนส่งเดินทางและการท่องเที่ยว นับเป็นอุตสาหกรรมหลักที่ทำรายได้ให้กับประเทศมาเป็นเวลานาน การเดินทางของคณะนักท่องเที่ยวส่วนใหญ่อาศัยรถโดยสารขนาดใหญ่ หรือรถบัส ซึ่งเป็นยานพาหนะที่ได้รับความนิยมสำหรับชนิดหนึ่งในการขนส่งและเดินทางของนักท่องเที่ยวทั้งในประเทศ และต่างประเทศ จากข้อมูลของกรมขนส่งทางบกแสดงให้เห็น ว่าปัจจุบันประเทศไทยมีรถบัสไม่ประจำทางราวหมื่นหกพันคัน และมีความต้องการเพิ่มขึ้นทุกปี ตามสัดส่วนของจำนวนประชากร และขนาดของอุตสาหกรรมการท่องเที่ยว ดังนั้นการพัฒนาและตรวจสอบคุณภาพของรถบัสเพื่อเพิ่มความปลอดภัยให้กับผู้โดยสารและผู้ใช้งานจึงเป็นสิ่งที่จะต้องคำนึงถึง ด้วยเหตุดังกล่าว การออกแบบโครงคัสชีรถโดยสาร 2 ชั้น มาตรฐาน 4 เป็นรถ 2 ชั้นซึ่งมีโครงคัสชีเป็นคัสชีรถโดยสาร มีห้องโดยสารทั้งชั้นล่างและชั้นบนโดยพื้นห้องโดยสารทั้ง 2 ชั้น แยกจากกันโดยเด็ดขาด มีทางขึ้นลงชั้นล่างอยู่ด้านข้าง และมีทางขึ้นลงชั้นบนอยู่ภายในตัวรถอย่างน้อยหนึ่งทางให้มีความแข็งแรงและปลอดภัยจึงเป็นสิ่งที่จะต้องคำนึงถึง จึงเป็นที่มาของการศึกษาและออกแบบโครงคัสชีตามหลักการทางวิศวกรรมโดยศึกษาเงื่อนไขการออกแบบต่างๆ ซึ่งเป็นจำลองจากสถานการณ์จริงที่เกิดขึ้นกับโครงคัสชีและเพื่อให้ได้ความถูกต้องแม่นยำมากยิ่งขึ้นจึงได้ใช้คอมพิวเตอร์และโปรแกรมการคำนวณความแข็งแรงด้วยวิธีไฟไนต์เอลิเมนต์มาประยุกต์ใช้ในการออกแบบ

#### 2. วัตถุประสงค์

จากเดิมการประกอบและผลิตอาศัยทักษะความชำนาญของช่างเพียงอย่างเดียว งานวิจัยนี้ได้ทำการออกแบบและพัฒนาโครงคัสชีรถโดยสาร 2 ชั้น (มาตรฐาน 4) อาศัยหลักการการออกแบบทางวิศวกรรม โดยให้มีความแข็งแรงสามารถรับภาระกระทำต่างๆ ได้

#### 3. ทฤษฎี

โครงคัสชีของรถโดยสารขนาดใหญ่ประกอบด้วยส่วนของเครื่องยนต์, ระบบส่งกำลัง, ช่วงล่างของล้อหน้าและหลัง, ล้อ และโครงคัสชี โครงคัสชีจำเป็นต้องมีขนาดใหญ่เพราะต้องรับน้ำหนัก

บรรทุกและอุปกรณ์ต่างๆ ของรถโดยสาร ส่วนประกอบหลักของ โครงค้ำซี่คือ เหล็กหน้าตัดรูปตัวซี (C-channel) ซึ่งนำมาเป็นโครงสร้าง ตามแนวยาว (Frame rails) ของรถเพราะเหล็กที่มีหน้าตัดรูปตัวซีนี้ง่าย ต่อการประกอบเข้าชิ้นส่วนอื่นๆ ของโครงสร้าง ส่วนเหล็กที่นำมาเป็น โครงสร้างตามแนวขวาง (Cross members) นิยมใช้เหล็กหน้าตัดรูปตัว ไอ (I-channel) เพราะโครงสร้างสามารถรับภาระได้ดีกว่าการใช้เหล็กที่มี หน้าตัดแบบอื่นๆ [1] ลักษณะโครงค้ำซี่ที่ประกอบขึ้นมีลักษณะ รูปร่างเหมือนบันได (Ladder frame) โครงสร้างนี้ต้องประกอบจาก เหล็กที่มีคุณสมบัติทางกายภาพเหมาะสม และสามารถรับภาระต่างๆ ได้ โครงค้ำซี่ต้องมีความแข็งแรงพอที่จะต้านทานภาระแรงดัด, แรงบิด และการล้าตัวของโครงสร้าง รวมทั้งสามารถทนการสั่นสะเทือนได้

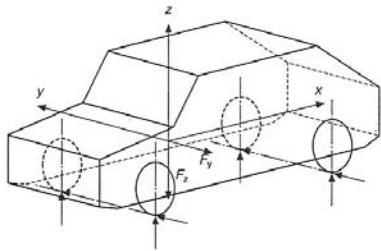
การออกแบบโครงค้ำซี่สำหรับรถโดยสารขนาดใหญ่พิจารณาจาก ตำแหน่งการติดตั้งอุปกรณ์ขนาดใหญ่ซึ่งโครงค้ำซี่ต้องสามารถรับ น้ำหนักบรรทุกตั้งนั้นความต้องการสำหรับการออกแบบถูกกำหนดโดย มาตรฐานอุตสาหกรรมและกฎหมายที่เกี่ยวข้อง

การกำหนดภาระที่กระทำต่อโครงค้ำซี่และโครงสร้างตัวถังของรถ โดยสารหรือรถเพื่อการขนส่งเชิงพาณิชย์เป็นปัจจัยสำคัญสำหรับการ ออกแบบโครงค้ำซี่ เนื่องจากภาระที่กระทำต่อโครงค้ำซี่ซึ่งเป็นผลจาก อุปกรณ์ต่างๆ ที่เกิดขึ้นระหว่างการขับเคลื่อนของตัวรถ ดังนั้น สามารถแบ่งสภาวะของภาระที่กระทำต่อโครงค้ำซี่เพื่อใช้ในการ พิจารณาและการออกแบบโครงค้ำซี่ได้ออกเป็น 5 สภาวะ [2] ดังนี้

### 3.1 สภาวะที่ใช้ในการพิจารณาและออกแบบโครงค้ำซี่

#### 3.1.1 สภาวะโมเมนต์ดัด (Bending Case)

ลักษณะภาระที่กระทำแบบนี้จะเกิดจากภาระของแรงกระทำ ราบแนวตั้ง (x-z plane) เมื่อเทียบกับโครงค้ำซี่ ซึ่งภาระของแรง กระทำมาจากน้ำหนักของส่วนประกอบต่างๆ ที่ติดตั้งไว้บนโครงค้ำซี่ ซึ่งแรงกระทำนี้



รูปที่ 1 สภาวะโมเมนต์ดัด (Bending Case)

สภาวะโมเมนต์ดัด (Bending case) ขึ้นอยู่กับน้ำหนักของ อุปกรณ์หลักและน้ำหนักบรรทุกของรถโดยสาร การพิจารณาขั้นแรกคือ สภาวะสถิต (Static condition) โดยการคำนวณหาแรงกระจายที่เกิดขึ้น ตามโครงค้ำซี่ น้ำหนักลงเพลสามารถคำนวณได้จากแรงกระทำและ หาค่าโมเมนต์จากตำแหน่งการติดตั้งอุปกรณ์นั้นโครงสร้างถูกพิจารณา ในลักษณะ 2 มิติ โดยสมมาตรตามแนวยาวของตัวรถโดยสาร

แรงกระจายถูกประมาณค่าจากน้ำหนักของตัวถังต่อความยาว ของตัวรถซึ่งรวมรายละเอียดต่างๆ ของตัวรถโดยสารไว้ด้วย แต่ไม่คิด น้ำหนักของล้อ, ระบบเบรก และระบบช่วงล่าง ซึ่งอุปกรณ์เหล่านี้ไม่ เกิดภาระกระทำต่อโครงค้ำซี่

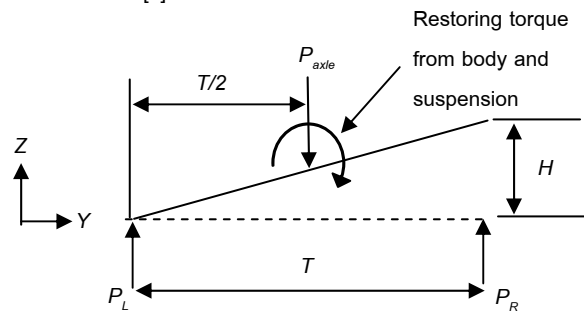
รวมบทความวิชาการ เล่มที่ 2 การประชุมวิชาการเครือข่ายวิศวกรรมเครื่องกลแห่งประเทศไทย ครั้งที่ 22

สำหรับสภาวะพลศาสตร์ (Dynamics Condition) ของกรณีนี้ พิจารณาอุปกรณ์ที่เกิดขึ้นจากการใช้รถโดยสาร ตัวอย่างเช่น รถ โดยสารเล่นผ่านหลุมที่เกิดบนถนน เป็นต้น ผลจากสภาวะลักษณะนี้ ทำให้เกิดแรงกระทำต่อโครงค้ำซี่จึงต้องพิจารณาแรงกระทำที่มากกว่า สภาวะสถิต จากประสบการณ์ของผู้ผลิตรายานยนต์ได้เพิ่มค่า สัมประสิทธิ์เพื่อใช้ในการคำนวณไว้ที่ 1.3 สำหรับการให้ทั่วไป [4] นัก ออกแบบบางท่านได้ให้ค่าความปลอดภัยดังแสดงตามตารางข้างล่างนี้ ตารางที่ 1 แสดงค่าความปลอดภัยสำหรับสภาวะโมเมนต์ดัด [5]

	โดยปกติ	Pawlowski (1969)
ค่าความปลอดภัย	1.5	1.4-2.0

#### 3.1.2 สภาวะแรงบิด (Torsion Case)

การออกแบบเพื่อรับภาระแรงบิดค่อนข้างซับซ้อนและเกี่ยวข้องกับ ภัยพิบัติซึ่งต้องคอมพิวเตอร์ช่วยการคำนวณ โครงค้ำซี่รับภาระ แรงบิดจากโมเมนต์บิดตามแนวยาวของรถโดยสาร โมเมนต์แรงบิด อาจเกิดขึ้นตามเข็มหรือทวนเข็มนาฬิกาขึ้นอยู่กับอุปกรณ์ที่เกิดขึ้น ระหว่างการเคลื่อนที่ของรถโดยสาร เมื่อพิจารณาแต่แรงบิดเพียงอย่าง เดียว แรงกระทำจะกระทำต่อล้อข้างใดข้างหนึ่งซึ่งทำให้เกิดแรง ปฏิกริยาเกิดขึ้นกับเพลอื่น ค่าสูงสุดที่เกิดโมเมนต์บิดสามารถคำนวณ ได้จากแรงกระทำที่ล้อและศูนย์กลางของฐานล้อ (Track) โมเมนต์แรงบิด [5]



รูปที่ 2 แสดงแผนภาพแรงอิสระ (Free-Body Diagram) ขณะล้อ หน้าด้านขวาถูกยกขึ้น

$$T_{max} = P_{axle} T/2 \quad (1)$$

โดยที่  $T_{max}$  คือแรงบิด  $P_{axle}$  คือน้ำหนักลงเพล  $T$  คือระยะห่างฐาน ล้อ  $H$  คือระยะยกของล้อ  $P_L$  คือน้ำหนักลงล้อซ้าย และ  $P_R$  คือ น้ำหนักลงล้อขวา

นักออกแบบท่านอื่นได้แนะนำค่าระยะยกของล้อ ( $H$ ) ตาม ตารางข้างล่างนี้[4]

ตารางที่ 2 แสดงระยะยกของล้อ

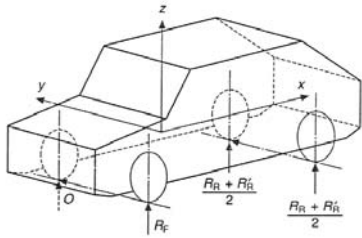
	Pawlowski (1969)	Erz (1957)
$H$	0.2 m	0.2 m
Inertia factor	1.3	-

สำหรับสภาวะพลศาสตร์ กรณีนี้ได้กำหนดค่าสัมประสิทธิ์

สำหรับสมภาวะพลศาสตร์เพื่อใช้คำนวณเท่ากับ 1.5 สำหรับรถบรรทุกขนาดใหญ่ [2]

### 3.1.3 การรวมโมเมนต์ตัดและแรงบิด (Combined Case)

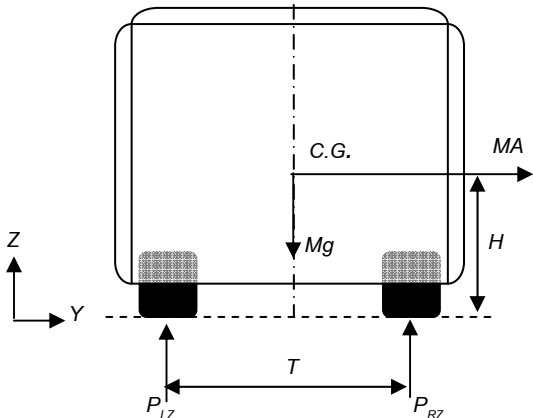
สำหรับสมภาวะจริงภาวะแรงบิดไม่สามารถเกิดขึ้นเพียงอย่างเดียวได้ ต้องมีภาวะแรงตัดเกิดขึ้นร่วมด้วยเสมอซึ่งเป็นผลมาจากแรงโน้มถ่วงของโลกนั่นเอง ดังนั้นภาวะทั้งสองกรณีต้องรวมเข้าด้วยกันเพื่อให้เหมือนกับสมภาวะจริงที่เกิดขึ้นจากการใช้งาน



รูปที่ 3 สมภาวะรวมโมเมนต์ตัดและแรงบิด

### 3.1.4 ภาวะแรงกระทำจากด้านข้าง (Lateral Loading)

ขณะที่รถกำลังแล่นในทางโค้ง แรงกระทำจากด้านข้างจะเกิดขึ้นและกระทำที่ตำแหน่งของล้อสัมผัสกับพื้นถนน ซึ่งเป็นผลมาจากแรงหนีศูนย์กลาง (Centrifugal force) เมื่อพิจารณาขณะรถแล่นอยู่ในทางโค้งด้วยความเร็วคงที่ (Steady-state cornering) สามารถนำกฎข้อที่ 2 ของนิวตันมาประยุกต์ใช้เพื่ออธิบายแรงกระทำต่างๆ ที่เกิดขึ้น



รูปที่ 4 แสดงแรงกระทำทั้งหมดขณะรถเลี้ยวโค้งซ้ายด้วยความเร็วคงที่

จากรูปที่ 4 แสดงแผนภาพแรงอิสระ (Free-Body Diagram) ด้านหลังของรถมีลักษณะ 2 มิติ ขณะรถเลี้ยวโค้งทางซ้ายภายใต้สมภาวะความเร็วและรัศมีความโค้งคงที่ (Steady-state left-hand cornering) ซึ่งแรงกระทำจากผลของมวลคูณกับความเร่งหนีศูนย์กลางทางด้านข้างจะมีค่าเท่ากับแรงเสียดทานกระทำที่ล้อทั้ง 2 ข้าง และน้ำหนักของรถเท่ากับแรงปฏิกิริยาของล้อทั้งซ้ายและขวากระทำกับพื้น

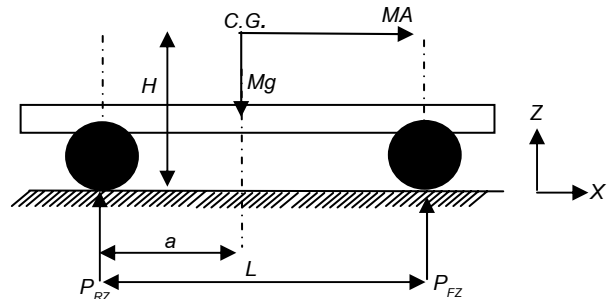
เพราะฉะนั้นแรงกระทำทั้งหมดที่ถ่ายโอน คือ ครึ่งหนึ่งของผลต่างของแรงกระทำแนวตั้งกระทำกับยาง

$$\frac{P_L - P_R}{2} = \frac{MAH}{T} \quad (2)$$

โดยที่  $P_L$  คือน้ำหนักล้อด้านซ้าย  $P_R$  คือน้ำหนักล้อด้านขวา  $M$  คือมวลรถ  $A$  คือความเร่ง  $H$  คือระยะสูงของจุดศูนย์กลางมวล และ  $T$  คือระยะห่างฐานล้อ

### 3.1.5 ภาวะแรงกระทำตามแนวยาวรถ (Longitudinal Loading)

เมื่อรถแล่นด้วยความเร่งหรือลดความเร็วด้วยความหน่วง ผลคูณของมวลกับความเร่งหรือแรงเฉื่อยจะเกิดขึ้นและกระทำผ่านจุดศูนย์กลางของรถเกิดเป็นภาวะกระทำต่อโครงสร้างค้ำ ซึ่งขณะที่รถกำลังเพิ่มความเร่งด้วย อัตราเร่งนั้นมีการถ่ายเทบรรทุกน้ำหนักจากเพลาล้อหน้าส่งผ่านไปยังเพลาล้อหลัง และรถ กำลังลดความเร็วด้วยอัตราความหน่วงนั้นก็จะเกิดการถ่ายเทบรรทุกน้ำหนักจากเพลาล้อ หลังส่งผ่านไปยังเพลาล้อหน้า จาก SAE Handbook ได้ระบุความต้องการและวิธีการทดสอบสำหรับอุปกรณ์และระบบเบรก วิธีการทดสอบได้กำหนดข้อมูลจำเพาะไว้หลายอย่าง การวัดค่าอัตราความหน่วง, ระยะทางใช้ในการหยุดรถ, แรงบิดเฉลี่ยและค่าสูงสุด, ค่าเฉลี่ยและค่าสูงสุดของทุกการทดลอง เมื่อไม่พิจารณารายละเอียดต่างๆ การทดสอบการเบรกสำหรับกรณีฉุกเฉินได้กำหนดค่าอัตราความหน่วงเท่ากับ 0.65g หรือ 6.3765 m/s<sup>2</sup> และ สำหรับกรณีเบรกภาวะปกติกำหนดค่าอัตราความหน่วงเท่ากับ 0.31g หรือ 3.0411 m/s<sup>2</sup> สมการสำหรับสมรรถนะของการเบรกสามารถหาได้จากกฎข้อที่ 2 ของนิวตัน (Newton's Second Law) และภายใต้สมมติฐานคือ อัตราความหน่วงคงที่ ดังนั้นสามารถหาแรงปฏิกิริยาที่เกิดขึ้นได้ ดังสมการข้างล่างนี้



รูปที่ 5 แสดงแรงปฏิกิริยาของล้อกระทำต่อพื้นถนน สำหรับแรงปฏิกิริยาของทุกเพลลา [2] คือ

$$P_{FZ} = \frac{Mg + MAH}{L} \quad (3)$$

$$P_{RZ} = \frac{(Mg - a) + MAH}{L} \quad (4)$$

จากเงื่อนไขของสมภาวะแรงกระทำทั้งหมดข้างต้นทำให้เกิดความเค้นตลอดทั้งโครงสร้างค้ำ ภายใต้อาณาเขตของสมภาวะที่เกิดความเสียหายมากที่สุด ความเค้นที่เกิดขึ้นกับโครงสร้างต้องไม่เกิดขีดจำกัดที่ยอมรับได้

### 3.2 ความเค้นสำหรับการออกแบบ

การออกแบบโครงสร้างให้ค่าความเค้นสูงสุดที่เกิดขึ้นไม่เกิน 67 เปอร์เซ็นต์ของความเค้นที่จุดคราก [2] ดังนั้นจึงสนใจพฤติกรรมของวัสดุในช่วงยืดหยุ่น และความเค้นนั้นไม่เกินความเค้นคราก (Yield stress) สภาวะของความเค้นที่เกิดขึ้นบนโครงสร้างจะมีลักษณะที่ค่อนข้างซับซ้อนและมีทิศทางต่างกัน ความเค้นในทิศทางใดทิศทางหนึ่งอาจจะมีค่าสูงกว่าความเค้นจุดคราก อย่างไรก็ตามความเค้นรวมจะต้องไม่สูงกว่าความเค้นครากของวัสดุนั้นมากนัก แต่ถ้าความเค้นในโครงสร้างสูงกว่าความเค้นครากมาก ก็อาจเป็นสาเหตุให้เกิดการแตกร้าวในเนื้อวัสดุของโครงสร้างได้

$$\sigma_{static} \times D.F. \leq 2/3 \times \sigma_y \quad (5)$$

โดยที่  $\sigma_{static}$  คือความเค้นสภาวะสถิต  $D.F.$  คือสัมประสิทธิ์สภาวะพลศาสตร์ และ  $\sigma_y$  คือความเค้นจุดคราก

### 4. เงื่อนไขและผลการคำนวณไฟไนต์เอลิเมนต์

กำหนดแกน 1 คือแกนตามขวางรถ แกน 2 คือแกนตามความสูงรถ และแกน 3 คือแกนตามยาวรถ แบบจำลองถูกสร้างขึ้นและถูกกำหนดชนิดของวัสดุสำหรับการคำนวณความแข็งแรง (AISI 1020, Structural Steel) ดังแสดงตามตารางข้างล่างนี้

ตารางที่ 3 แสดงคุณสมบัติวัสดุสำหรับการคำนวณไฟไนต์เอลิเมนต์ [3]

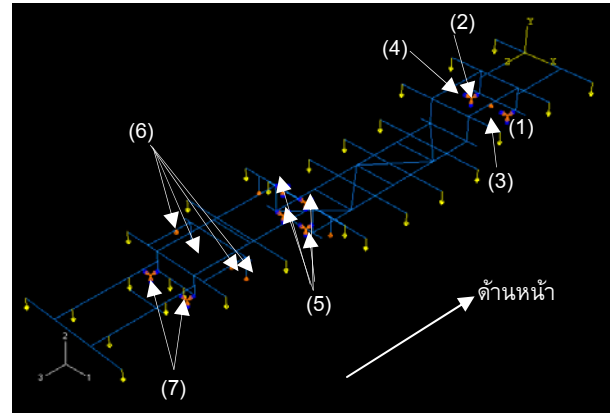
Modulus of Elasticity	200 GPa
Poisson's Ratio	0.25
Weight Density	7860 kg/m <sup>3</sup>
Yield Stress	350 MPa
Tensile Stress	420 MPa
Stress Design	210 MPa

ตารางที่ 4 แสดงข้อมูลรถโดยสาร 2 ชั้น

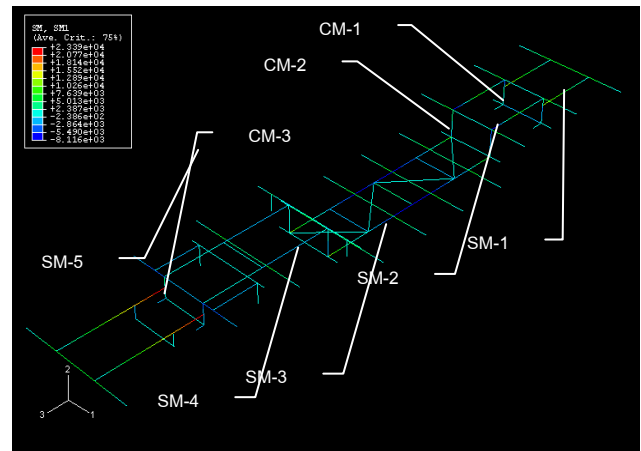
รายละเอียด	
น้ำหนักบรรทุกอุปกรณ์ทั้งหมด	18,300 กก.
น้ำหนักโครงสร้าง (สามารถวิ่งได้)	7,896 กก.
น้ำหนักลงเพลาล้อหน้า	4,360 กก.
น้ำหนักลงเพลาล้อคู่หลัง	13,410 กก.
น้ำหนักเครื่องยนต์	1,100 กก.
ระยะห่างเพลาล้อหน้าถึงกึ่งกลางเพลาล้อคู่หลัง	6,400 มม.
ระยะห่างระหว่างเพลาล้อคู่หลัง	1,300 มม.
ระยะห่างฐานล้อ	2,350 มม.
ความสูงจุดศูนย์กลางมวล	2,160 มม.

### 4.1 เงื่อนไขการคำนวณ

#### 4.1.1 เงื่อนไขสภาวะโมเมนต์ดัด (Bending Case) เอลิเมนต์แบบคาน (Beam Element)



รูปที่ 6 แสดงเงื่อนไขการคำนวณกรณีสภาวะโมเมนต์ดัด ตำแหน่ง (1), (2), (5) และ (7) กำหนด  $U_1, U_2, U_3, R_1, R_2$  และ  $R_3$  ไม่มีการเคลื่อนที่เชิงเส้นและเชิงมุมทุกแกน ตำแหน่ง (3), (4) และ (6) กำหนด  $U_2$  ไม่มีการเคลื่อนที่เชิงเส้น ลูกศรสีเหลืองแทนน้ำหนักบรรทุกทั้งหมดเท่ากับ 11504 กก. โดยที่  $U_x$  คือการเคลื่อนที่เชิงเส้นตามแนวแกน  $X$  และ  $R_x$  คือการเคลื่อนที่เชิงมุมรอบแกน  $X$



รูปที่ 7 แสดงสนามโมเมนต์ดัด (เอลิเมนต์แบบคาน) จากรูปที่ 7 ทำให้ทราบค่าโมเมนต์ดัดที่เกิดขึ้นและนำมาคำนวณเพื่อหาค่าโมดูลัสหน้าตัด (Section Modulus) ตามสมการข้างล่างนี้

$$\sigma_{design} = M/Z \quad (6)$$

โดยที่  $\sigma_{design}$  คือความเค้นสำหรับการออกแบบ  $M$  คือโมเมนต์ดัด (Bending Moment) และ  $Z$  คือโมดูลัสหน้าตัด (Section Modulus)

จากผลการคำนวณสนามโมเมนต์ดัดตามรูปที่ 6 และนำมาตั้งกล่าวมาคำนวณเพื่อหาค่าโมดูลัสหน้าตัดซึ่งแสดงผลการคำนวณตามตารางข้างล่างนี้

ตารางที่ 5 แสดงผลการคำนวณโมดูลัสหน้าตัด

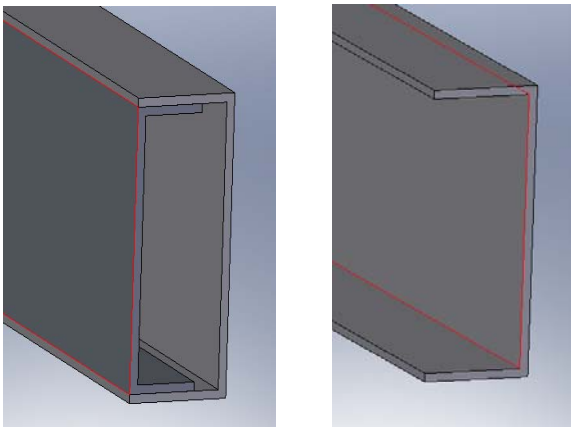
ชั้นส่วน	โมเมนต์ดัด (Nm)	โมดูลัสหน้าตัด, $Z_{cal}$ (cm <sup>3</sup> )	โมดูลัสหน้าตัด, $Z_{design}$ (cm <sup>3</sup> )
CM-1	10761	51.1	108
CM-2	12132	57.7	108
CM-3	11379	54.2	108
SM-1	15569	74.1	120
SM-2	10145	48.3	120
SM-3	14405	68.6	120
SM-4	7562	36.1	120
SM-5	34410	163.8	267

โดยที่  $Z_{cal}$  คือโมดูลัสหน้าตัดซึ่งได้จากการคำนวณ และ  $Z_{design}$  คือโมดูลัสหน้าตัดสำหรับการออกแบบโครงสร้าง

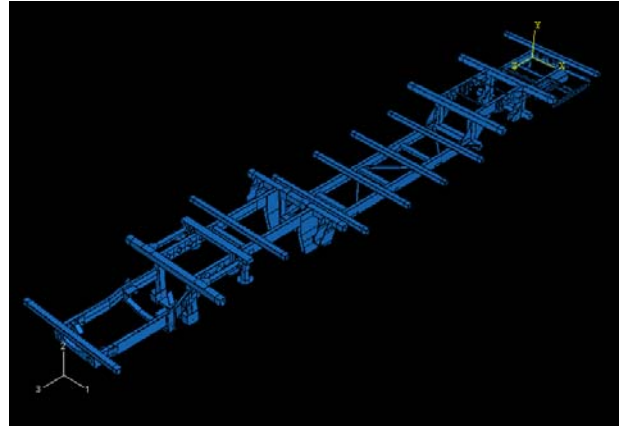
ตารางที่ 6 แสดงรายละเอียดขนาดและรูปร่างส่วนประกอบโครงสร้าง

ชั้นส่วน	ขนาด (mm)	รูปร่าง
CM-1	100x100x6	Square Box
CM-2	100x100x6	Square Box
CM-3	100x100x6	Square Box
SM-1	75x200x6	C-Channel
SM-2	75x200x6	C-Channel
SM-3	75x200x6	C-Channel
SM-4	75x200x6	C-Channel
SM-5	75x200x6-DC	C-Channel (Double)

จากตารางที่ 6 แสดงรายละเอียดส่วนประกอบโครงสร้างและนำข้อมูลดังกล่าวสร้างแบบจำลองโครงสร้างสามมิติซึ่งใช้ในการคำนวณความแข็งแรงด้วยระเบียบวิธีไฟไนต์เอลิเมนต์โดยใช้เอลิเมนต์แบบโซลิด (Solids Element) เพื่อวิเคราะห์ความเค้นที่เกิดขึ้นในสภาวะต่างๆ

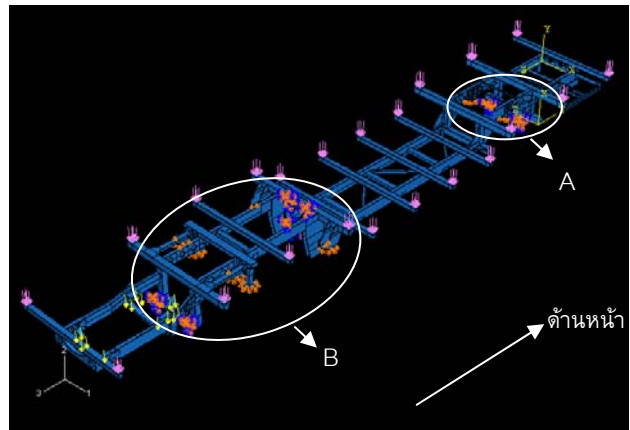


รูปที่ 8 แสดงลักษณะเหล็กรูปตัวซีซ้อนกัน (Double C-Channel) และเหล็กรูปตัวซี

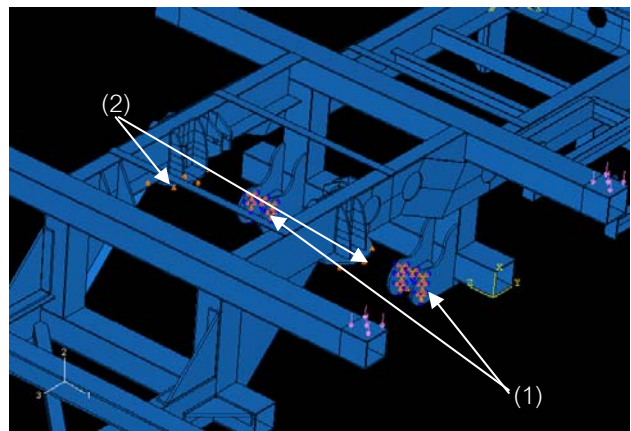


รูปที่ 9 แสดงลักษณะโครงสร้างสามมิติสำหรับการคำนวณไฟไนต์เอลิเมนต์

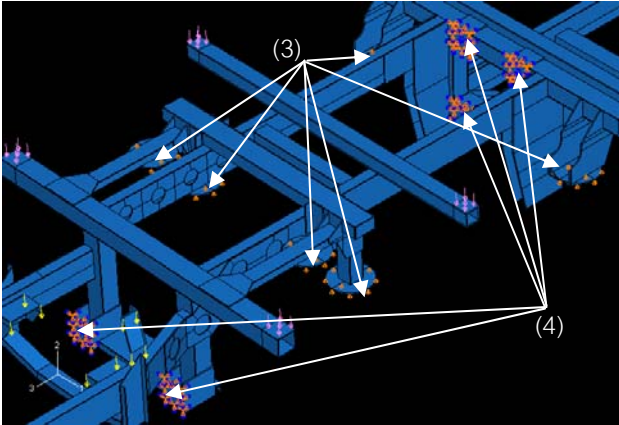
#### 4.1.2 เงื่อนไขสภาวะโมเมนต์ดัด (Bending Case) แบบโซลิดเอลิเมนต์ (Solids Element)



รูปที่ 10 แสดงเงื่อนไขการคำนวณสภาวะโมเมนต์ดัด



รูปที่ 11 แสดงรูปขยาย A เงื่อนไขการคำนวณบริเวณลัดหน้า



รูปที่ 12 แสดงรูปขยาย B เงื่อนไขการคำนวณบริเวณล้อยหลัง เงื่อนไขการคำนวณสภาวะนี้คือ รถวิ่งทางตรงด้วยความเร็วคงที่ พร้อมบรรทุกอุปกรณ์มาตรฐานทั้งหมด จากรูป 10-12 แสดงเงื่อนไขขอบเขตการคำนวณกรณีสภาวะโมเมนต์ดัด กำหนดสัมประสิทธิ์สำหรับสภาวะพลาสต์ริค ( $D.F.$ ) เท่ากับ 1.3 [6] ลูกศรสีชมพูแทนน้ำหนักบรรทุก, ลูกศรสีเหลืองแทนน้ำหนักเครื่องยนต์ ตำแหน่ง (1) และ (4) กำหนดให้  $U_1, U_2, U_3, R_1, R_2$  และ  $R_3$  ไม่มีการเคลื่อนที่เชิงเส้นและเชิงมุมทุกแกน และตำแหน่ง (2) และ (3) กำหนดให้  $U_2$  ไม่มีการเคลื่อนที่เชิงเส้น [7]

#### 4.1.3 เงื่อนไขสภาวะรวมโมเมนต์ดัดและแรงบิด (Combined Case) แบบโซลิดเอลิเมนต์ (Solids element)

เงื่อนไขการคำนวณสภาวะนี้คือ ล้อข้างหน้าด้านขวาถูกยกลอยขึ้นเหนือพื้นจนกระทั่งล้ออีกข้างหนึ่งกำลังยกลอยขึ้นจากพื้นตาม ทำให้แรงปฏิกิริยาของล้อด้านซ้ายที่กระทำกับพื้นมีค่าเข้าใกล้ศูนย์กำหนดสัมประสิทธิ์สำหรับสภาวะพลาสต์ริค ( $D.F.$ ) เท่ากับ 1.5 จากรูป 10-12 ตำแหน่ง (1) และ (4) กำหนดให้  $U_1, U_2, U_3$  ไม่มีการเคลื่อนที่เชิงเส้น  $R_1$  และ  $R_2$  ไม่มีการเคลื่อนที่เชิงมุม ส่วน  $R_3$  อิสระ [8] และตำแหน่ง (2) และ (3) มีแรงทำให้เกิดโมเมนต์กระทำ

#### 4.1.4 เงื่อนไขสภาวะแรงกระทำจากด้านข้าง (Lateral Loading) แบบโซลิดเอลิเมนต์ (Solids Element)

กำหนดสัมประสิทธิ์สำหรับสภาวะพลาสต์ริค ( $D.F.$ ) เท่ากับ 1.4 จากรูป 10-12 ตำแหน่ง (1) และ (4) กำหนดให้  $U_1, U_2, U_3$  ไม่มีการเคลื่อนที่เชิงเส้น  $R_1, R_2$  ไม่มีการเคลื่อนที่เชิงมุม และ  $R_3$  อิสระ และตำแหน่ง (2) และ (3) [2] กำหนดให้  $U_2$  ไม่มีการเคลื่อนที่เชิงเส้น

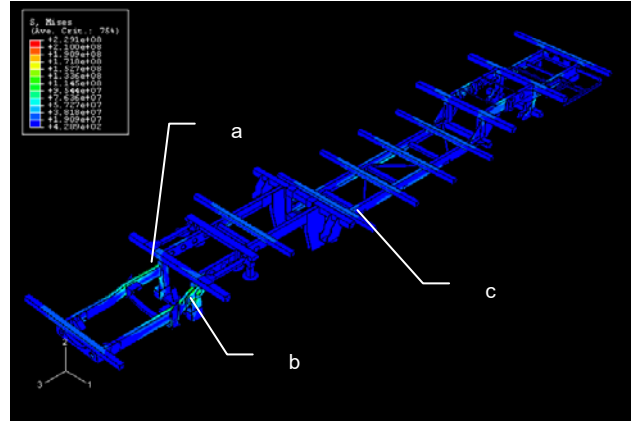
#### 4.1.5 เงื่อนไขสภาวะแรงกระทำตามแนวยาว (Longitudinal Loading) แบบโซลิดเอลิเมนต์ (Solids Element)

กำหนดสัมประสิทธิ์สำหรับสภาวะพลาสต์ริค ( $D.F.$ ) เท่ากับ

1.75 จากรูป 10-12 ตำแหน่ง (1) และ (4) กำหนดให้  $U_1, U_2, U_3$  ไม่มีการเคลื่อนที่เชิงเส้น  $R_2$  และ  $R_3$  ไม่มีการเคลื่อนที่เชิงมุม ส่วน  $R_1$  อิสระ และตำแหน่ง (2) และ (3) กำหนดให้  $U_2$  ไม่มีการเคลื่อนที่เชิงเส้น

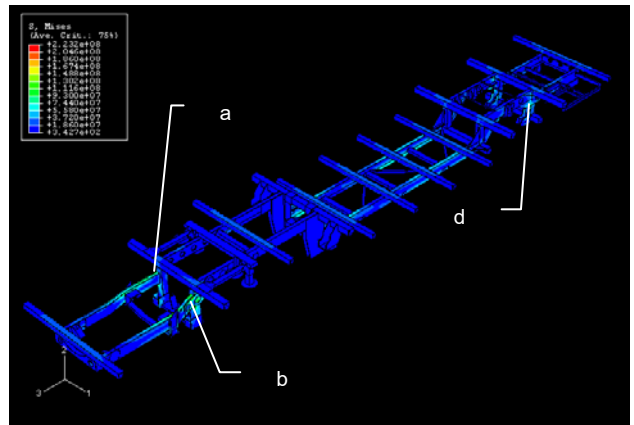
## 4.2 ผลการคำนวณไฟไนต์เอลิเมนต์แบบโซลิดเอลิเมนต์

### 4.2.1 สภาวะโมเมนต์ดัด (Bending Case)



รูปที่ 13 แสดงสนามความเค้นสภาวะโมเมนต์ดัด (เอลิเมนต์แบบโซลิด) จากรูปที่ 13 แสดงสนามเค้นสภาวะโมเมนต์ดัด เมื่อพิจารณาตำแหน่ง a พบว่ามีความเค้นแบบวอนมิส (Von Mises Stress) เท่ากับ 229 MPa และความเค้นแกน 3 (Max. Principal Stress, S33) เท่ากับ 256 MPa ส่วนตำแหน่ง b มีความเค้นแบบวอนมิส (Von Mises Stress) เท่ากับ 189 MPa และความเค้นแกน 3 (Max. Principal Stress, S33) เท่ากับ 201 MPa และตำแหน่ง c มีความเค้นแบบวอนมิส (Von Mises Stress) เท่ากับ 102 MPa และความเค้นแกน 3 (Max. Principal Stress, S33) เท่ากับ 116 MPa

### 4.2.2 สภาวะรวมโมเมนต์ดัดและแรงบิด (Combined Case)

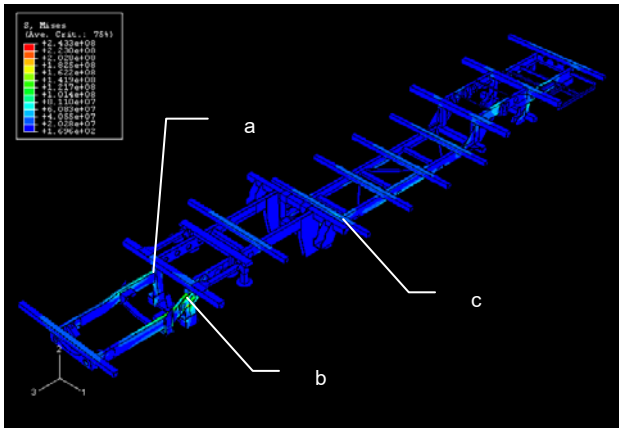


รูปที่ 14 แสดงสนามความเค้นสภาวะรวมโมเมนต์ดัดและแรงบิด (เอลิเมนต์แบบโซลิด)

จากรูปที่ 14 แสดงสนามความเค้นสภาวะรวมโมเมนต์ดัดและแรงบิด เมื่อพิจารณาตำแหน่ง a พบว่าความเค้นแบบวอนมิส (Von

Mises Stress) เท่ากับ 232 MPa และความเค้นแกน 3 เท่ากับ 249 MPa ส่วนตำแหน่ง b มีความเค้นแบบวอนมิส (Von Mises Stress) เท่ากับ 191 MPa และความเค้นแกน 3 (Max. Principal Stress, S33) เท่ากับ 198 MPa และตำแหน่ง d มีความเค้นแบบวอนมิส (Von Mises Stress) เท่ากับ 125 MPa และความเค้นแกน 3 (Max. Principal Stress, S33) เท่ากับ 201 MPa

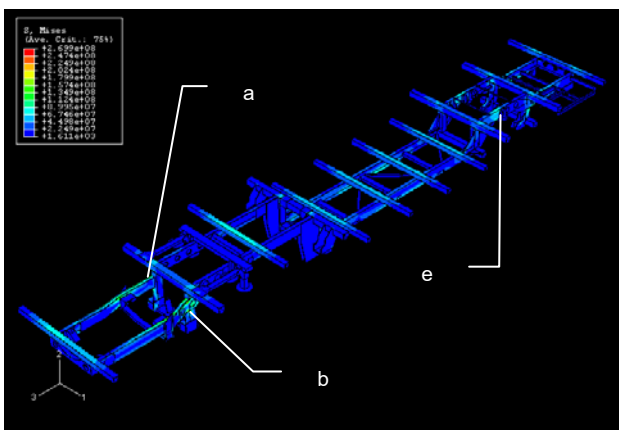
#### 4.2.3 สภาวะแรงกระทำจากด้านข้าง (Lateral Loading)



รูปที่ 15 แสดงสนามความเค้นสภาวะแรงกระทำจากด้านข้าง (เอลิเมนต์แบบโซลิด)

จากรูปที่ 15 แสดงสนามความเค้นสภาวะแรงกระทำจากด้านข้าง เมื่อพิจารณาตำแหน่ง a พบว่ามีความเค้นแบบวอนมิส (Von Mises Stress) เท่ากับ 188 MPa และความเค้นแกน 3 (Max. Principal Stress, S33) เท่ากับ 210 MPa ส่วนตำแหน่ง b มีความเค้นแบบวอนมิส (Von Mises Stress) เท่ากับ 243 MPa และความเค้นแกน 3 (Max. Principal Stress, S33) เท่ากับ 221 MPa และตำแหน่ง c มีความเค้นแบบวอนมิส (Von Mises Stress) เท่ากับ 120 MPa และความเค้นแกน 3 (Max. Principal Stress, S33) เท่ากับ 122 MPa

#### 4.2.4 สภาวะแรงกระทำตามแนวยาว (Longitudinal Loading)



รูปที่ 16 แสดงสนามความเค้นสภาวะแรงกระทำตามแนวยาว (เอลิเมนต์แบบโซลิด)

จากรูปที่ 16 แสดงสนามความเค้นสภาวะแรงกระทำตามแนวยาว เมื่อพิจารณาตำแหน่ง a พบว่ามีความเค้นแบบวอนมิส (Von Mises Stress) เท่ากับ 235 MPa และความเค้นแกน 3 (Max. Principal Stress, S33) เท่ากับ 179 MPa ส่วนตำแหน่ง b มีความเค้นแบบวอนมิส (Von Mises Stress) เท่ากับ 155 MPa และความเค้นแกน 3 (Max. Principal Stress, S33) เท่ากับ 157 MPa และตำแหน่ง e มีความเค้นแบบวอนมิส (Von Mises Stress) เท่ากับ 126 MPa และความเค้นแกน 3 (Max. Principal Stress, S33) เท่ากับ 105 MPa

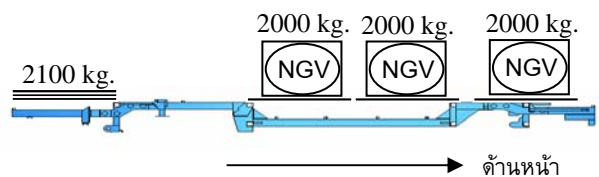
ตารางที่ 7 แสดงค่าความเค้นสูงสุดสำหรับกรณีการคำนวณต่างๆ

รายละเอียด	Von Mises (MPa)	Max. Principal Stress, S33 (MPa)
สภาวะโมเมนต์ดัด (Bending Case)	229	256
สภาวะรวมโมเมนต์ดัดและแรงบิด (Combined Case)	232	198
สภาวะแรงกระทำจากด้านข้าง (Lateral Loading)	243	253
สภาวะแรงกระทำตามแนวยาว (Longitudinal Loading)	235	179

จากผลการคำนวณซึ่งแสดงดังตารางที่ 7 พบว่าทุกกรณีความเค้นสูงสุดเกิดขึ้นบริเวณตำแหน่ง a ซึ่งบริเวณดังกล่าวเป็นตำแหน่งติดตั้งเครื่องยนต์

#### 5. ผลการทดสอบ

การทดสอบนี้ได้จำลองสภาวะรวมโมเมนต์ดัดและแรงบิด โดยการติดตั้งน้ำหนักบรรทุกซึ่งมีค่าใกล้เคียงกับน้ำหนักบรรทุกจริงและทำการยกล้อหน้าด้านขวาสูงขึ้นเหนือจากพื้นเป็นระยะ 20 เซนติเมตร วิธีการทดสอบดังแสดงตามรูปข้างล่างนี้

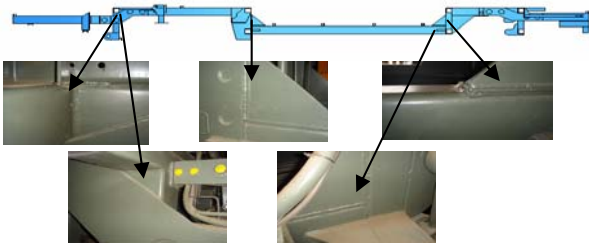


รูปที่ 17 แสดงแบบจำลองการติดตั้งน้ำหนักบรรทุกสำหรับการทดสอบสภาวะรวมโมเมนต์ดัดและแรงบิด





รูปที่ 18 แสดงการยกล้อหน้าด้านขวาของขึ้นเหนือจากพื้น 20 ซม. (สภาวะรวมโมเมนต์ดัดและแรงบิด)



รูปที่ 19 แสดงผลการตรวจสอบความเสียหายของโครงสร้าง

การทดสอบโครงสร้างโดยติดตั้งน้ำหนักบรรทุกทั้งหมด 8,100 กิโลกรัม เฉพาะส่วนท้ายของรถบริเวณติดตั้งเครื่องยนต์ติดตั้งน้ำหนักสำหรับการทดสอบ 2,100 กิโลกรัม ซึ่งมากกว่าเงื่อนไขขอบเขตการคำนวณประมาณ 500 กิโลกรัม แสดงตามรูปที่ 17 สำหรับรูปที่ 18 แสดงการทดสอบโครงสร้างโดยยกล้อหน้าด้านขวาของขึ้นเหนือจากพื้นเป็นระยะ 20 เซนติเมตร และรูปที่ 18 แสดงผลการตรวจสอบความเสียหายที่เกิดขึ้นกับโครงสร้าง จากการตรวจดูลักษณะภายนอกพบว่าตลอดทั้งโครงสร้างไม่มีชิ้นส่วนใดเกิดการแตกหักเสียหาย

## 6. สรุปผลการคำนวณและออกแบบ

งานวิจัยฉบับนี้ใช้การคำนวณความแข็งแรงด้วยระเบียบวิธีไฟไนต์เอลิเมนต์จำลองสนามเค้นที่เกิดขึ้นจากสภาวะต่างๆ ผลการคำนวณดังกล่าวทำให้สามารถเลือกขนาดและชนิดของเหล็กโครงสร้างที่นำประกอบและผลิตเป็นโครงสร้างซึ่งผ่านการออกแบบตามหลักการทางวิศวกรรม จากผลการคำนวณทุกกรณีพบว่าความเค้นแบบวอนมิส (Von Mises) และความเค้นแกน 3 (Max. Principal Stress) สูงสุดเกิดขึ้นที่ตำแหน่ง a เป็นตำแหน่งติดตั้งเครื่องยนต์ (ด้านท้ายของตัวรถ) อย่างไรก็ตามความเค้นทั้งสองแบบยังคงมีค่าอยู่ในช่วงยืดหยุ่นของวัสดุ ถ้าเปรียบเทียบค่าความเค้นสูงสุดทั้งสองแบบจากทุกกรณีพบว่ามีความเค้นเกิน 2 ใน 3 ของความเค้นจุดคราก (ความเค้นออกแบบ) แต่เมื่อพิจารณาผลการทดสอบโครงสร้างพบว่าโครงสร้างไม่เกิดความเสียหายและการแตกหักเกิดขึ้นกับชิ้นส่วนของโครงสร้าง ดังนั้นโครงสร้างมีความแข็งแรงเพียงพอสามารถรับภาระที่ออกแบบไว้ได้โดยไม่เกิดความเสียหายและโครงสร้างมีน้ำหนักเท่ากับ 1567 กก. อย่างไรก็ตามโครงสร้างทุกโครงสร้างรวมถึงโครงสร้างนี้ต้องมีอายุการใช้งานอยู่ในช่วงระยะเวลาหนึ่ง ดังนั้นการดูแลและบำรุงรักษาตามระยะเวลาที่รวมบทความวิชาการ เล่มที่ 2 การประชุมวิชาการเครือข่ายวิศวกรรมเครื่องกลแห่งประเทศไทย ครั้งที่ 22

เหมาะสมจึงเป็นสิ่งจำเป็นและสำคัญอย่างยิ่ง เพื่อให้โครงสร้างมีสภาพพร้อมใช้งานตลอดเวลาและลดการเกิดความเสียหายอย่างกะทันหันเพื่อเป็นการหลีกเลี่ยงการเกิดอุบัติเหตุซึ่งมีสาเหตุมาจากรถนำสภาพไม่สมบูรณ์ไปใช้งาน

## 7. ข้อเสนอแนะ

งานวิจัยฉบับนี้ทำการออกแบบและคำนวณความแข็งแรงเฉพาะโครงสร้างเพียงอย่างเดียว ซึ่งรถโดยสาร 2 ชั้นมีส่วนประกอบของตัวถังรวมอยู่ด้วย ดังนั้นการวิเคราะห์ความแข็งแรงโครงสร้างรวมทั้งโครงสร้างของตัวถังจะทำให้ผลการคำนวณมีความถูกต้องมากขึ้น ส่วนของการทดสอบซึ่งงานวิจัยฉบับนี้ขาดการทดสอบความล้าตัววัสดุที่ใช้ประกอบเป็นโครงสร้าง ข้อมูลจากการทดสอบความล้านี้เองสามารถนำไปใช้ในการคำนวณอายุการใช้งานได้ ทำให้โครงสร้างดังกล่าวนี้มีความน่าเชื่อถือด้านความแข็งแรงและเพิ่มความปลอดภัยมากยิ่งขึ้น

## กิตติกรรมประกาศ

ขอขอบพระคุณ ผศ.ดร.สายประสิทธิ์ เกิดนิยมที่ให้คำปรึกษาและคำแนะนำเป็นอย่างดี ขอขอบคุณเจ้าหน้าที่รัฐการภาควิศวกรรมเครื่องและการบิน-อวกาศที่ให้แนะนำเรื่องเอกสารต่างๆ เป็นอย่างดี และขอบคุณเพื่อนๆ น้องๆ และเพื่อนภาควิศวกรรมเครื่องกลและการบิน-อวกาศที่เสนอแนะและแลกเปลี่ยนความคิดเห็นเรื่อยมา

## เอกสารอ้างอิง

1. Don Knowles, Jack Erjavec, 1995. Classroom Manual for Medium/Heavy Duty Truck Steering and Suspension , Albany, Delmar.
2. Julian Happian-Smith, 2004. An Introduction to Modern Vehicle Design, SAE International, Warren dale.
3. Matweb-Online Material Data Sheet. Steel, General Properties. Available from <http://www.matweb.com>
4. Jason C. Brown, A. John Robertson and Stan T. Serpento, 2002. Motor Vehicle Structures Concepts and Fundamentals. SAE International, Warren dale.
5. Thomas D. Gillespie, 1992. Fundamentals of Vehicle Dynamics, Society of Automotive Engineers, Warren dale.
6. Jin Yi-Min, 2000. Analysis and Evaluation of Minivan Body Structure Finite Element Methods, Technology Research Institute Beiqi Futian Vehicle Co., Ltd.
7. Cicek Karaoglu, N. Sefa Kuralay, 2001. "Stress Analysis of A Truck Chassis with Riveted Joints" Finite Elements in Analysis and Design 38 (2002) 1115-1130.
8. Weerawut Charubhun, Supasit Rodkwan. Design of the Space Frame Racing Car Front Clip and Rear Clip for Torsional Rigidity, ในการสัมมนาวิศวกรรมเครื่องกลแห่งประเทศไทย ครั้งที่ 18, ขอนแก่น, 18-20 ตุลาคม 2547.